

# 慢病毒介导 CD-TK 融合基因转染神经干细胞后杀伤 C6 胶质瘤的研究

闫超<sup>1</sup>, 刘昊<sup>1</sup>, 彭海声<sup>2</sup>, 牛健<sup>1</sup>, 邢春阳<sup>1</sup>, 李殿俊<sup>3</sup>, 陶海泉<sup>1</sup>, 杨海城<sup>1</sup>  
(1.哈尔滨医科大学附属第二医院, 黑龙江 哈尔滨 150086; 2.哈尔滨医科大学大庆校区  
药学院, 黑龙江 大庆 163019; 3.哈尔滨医科大学免疫学教研室, 黑龙江 哈尔滨 150086)

**摘要:**[目的] 观察慢病毒介导的 CD-TK 融合基因转染神经干细胞(NSCs)对 C6 胶质瘤生长的抑制作用以及疗效。[方法] 利用慢病毒介导的大肠杆菌胞嘧啶脱氨酶(CD)和单纯疱疹病毒胸苷激酶(HSV-TK)融合基因转染 NSCs, 植入 C6 胶质瘤模型。用流式细胞仪技术检测 C6 胶质瘤生长凋亡情况。[结果] 成功构建 CD-TK 基因转染 NSCs 模型。实验组坏死细胞(17.80%)、早期凋亡细胞及晚期凋亡细胞(33.30%)较对照组增加。CDglyTK-NSC+GCV/5-Fc 治疗组肿瘤体积为  $9.36 \pm 2.35 \text{ mm}^3$ , 小于其他处理组及对照组的肿瘤体积( $P < 0.05$ )。[结论] 转染 NSCs 的 CD-TK 基因对 C6 胶质瘤细胞有抑制作用, 抗肿瘤效果明显, 优于单一的自杀基因系统。

**关键词:**CD-TK 融合基因; 神经干细胞; 胶质瘤; 基因治疗

中图分类号:R739.41 文献标识码:A 文章编号:1004-0242(2014)01-0063-05

doi:10.11735/j.issn.1004-0242.2014.01.A015

## Effect of Neural Stem Cells Modified by CD-TK Gene Mediated by Lentivirus on Glioma Cells

YAN Chao<sup>1</sup>, LIU Hao<sup>1</sup>, PENG Hai-sheng<sup>2</sup>, et al.

(1.The 2nd Affiliated Hospital of Harbin Medical University, Harbin 150086, China;

2.College of Pharmacy, Daqing Campus, Harbin Medical university, Daqing 163319, China)

**Abstract:** [Purpose] To investigate the inhibition effect and efficacy of neural stem cells modified by CD-TK gene mediated by lentivirus in the treatment of glioma. [Methods] CD-TK gene was introduced into NSCs by lentivirus-mediated transfection and implanted into the model of C6 glioma. FCM was used to observe the apoptosis of glioma in vivo. [Results] NSCs/CD-TK model was successfully constructed. Necrotic cells, apoptotic cells in treatment group were significantly higher than those in other groups ( $P < 0.05$ ). Tumor volume in CDglyTK-NSC+GCV/5-Fc group ( $9.36 \pm 2.35 \text{ mm}^3$ ) was smaller than that in other groups ( $P < 0.05$ ). [Conclusion] NSCs/CD-TK significantly inhibited the growth of C6 cells with a better anti-tumor efficacy than CD-TK suicide gene.

**Key words:** CD-TK gene; neural stem cells; glioma; gene therapy

神经干细胞(neural stem cells, NSCs)属于多能干细胞, 可生成神经组织, 并具有自我更新能力。NSCs 作为基因治疗的载体可以确保表达外源基因的稳定性, 从而保证了对肿瘤的杀伤效果; 其次, NSCs 可以和正常脑组织整合, 修复脑组织由于肿瘤侵袭而受到的损害, 修复神经元的缺失以及损伤的神经胶质<sup>[1]</sup>。NSCs 本身也具有一定的抗肿瘤能力<sup>[2]</sup>。本实验将 NSCs 作为 CD-TK 自杀基因的载体<sup>[3]</sup>, 观察慢病毒介导 CD-TK 融合基因转染 NSCs 后对 C6 胶质瘤的抑制作用和

疗效, 为进一步临床研究提供参考依据。

## 1 材料与方法

### 1.1 材料、试剂与动物

携带 CD-TK 基因的慢病毒载体 pLVX-CDglyTK-ZsGreen 由深圳百恩维生物科技有限公司合成。C6 胶质瘤细胞株由天津大学神经外科研究所惠赠。DMEM/F12、B27、bFGF(碱性成纤维细胞生长因子)、EGF(表皮生长因子)均购自 Gibco 公司。BD

收稿日期:2013-03-22;修回日期:2013-08-02  
通讯作者:杨海城, E-mail:yanghaicheng999@sina.com

ApoAlert<sup>TM</sup> Annexin V-FITC Kit(BD Biosciences 公司), 兼性逆转录病毒包装细胞 PA317 购自美国 ATCC。抗体包括 Nestin 兔抗鼠多克隆抗体 (Santa Cruz 公司), GFAP 单克隆抗体 (Santa Cruz 公司), NSE 单克隆抗体 (Santa Cruz 公司), 生物素标记山羊抗小鼠 IgG(北京中杉生物试剂公司), 山羊抗兔 Cy3-IgG(北京中杉生物试剂公司), DAPI (北京中杉生物试剂公司)。仪器有 37℃、CO<sub>2</sub> 培养箱(SMART Cell 公司), 酶标仪(Gene company), 荧光显微镜(Nikon)。

Wister 大鼠 60 只, 雄性, 体质量 200~250g, 购自哈尔滨医科大学大庆校区实验动物中心。

## 1.2 实验方法

### 1.2.1 NSCs 分离、培养及分化鉴定

将孕 14~16d 大鼠麻醉后颈椎脱臼法处死, 将胚胎取出。在解剖显微镜下分离胚胎脑组织, 研磨, 离心弃上清, 加入 NSCs 完全培养液, 用吸管吹打使细胞沉淀与培养液混匀。置于 37℃, 5%CO<sub>2</sub> 培养箱中培养。用免疫荧光法检测培养第 3 代的 NSCs 特异性抗原巢蛋白(neuroepithelial stem cell protein, Nestin)。

### 1.2.2 CD-TK 融合基因转染 NSCs 及分化鉴定

将慢病毒 pLVX-CDglyTK-ZsGreen 转染培养至第 3 代 NSCs, 48h 后于倒置荧光显微镜 490nm 激光下观察转染效率。用免疫荧光法检测转染 7d 的 NSCs 的 Nestin。

### 1.2.3 C6 胶质瘤大鼠模型建立及治疗

于 37℃、5%CO<sub>2</sub> 培养箱中培养 C6 胶质瘤细胞, 取生长状况良好的瘤细胞处理后, 显微镜下计数 10<sup>6</sup>/ml 注入 30 只大鼠头部。4d 后, 用相同方法在 30 只大鼠大脑对侧接种含 10μl 10<sup>9</sup> 个/ml CD-TK 融合基因的 NSCs, 另 30 只大鼠不做处理。2 周左右后, 每天在 15 只含 CD-TK 融合基因、NSCs 大鼠以及 15 只不含 CD-TK 基因、NSCs 大鼠腹腔内注射 5-Fc 500mg/kg+ GCV 60mg/kg, 共注射 1 周, 观察大鼠生存状况。

### 1.2.4 流式细胞仪检测 C6 胶质瘤细胞凋亡率

取处死大鼠的肿瘤组织

0.2~1.0g, 剪成细小碎片, 磨碎。1000g×5min 离心收集分离细胞, PBS 冲洗 2 次。用 PBS 配制成 1×10<sup>6</sup>/ml 浓度的单细胞悬液。取 100μl 细胞悬液于培养管内, 加入 5μl 的 Annexin V-FITC 和 2μl PI (50μg/ml), 混匀后室温、避光放置 15min, 每个加样组做 3 个平行管, 每管加入 400μl 缓冲液, 检测凋亡情况。不加 Annexin V-FITC 及 PI 的一管作为阴性对照。细胞凋亡率=(凋亡细胞数/所测细胞总数)×100%。

### 1.2.5 肿瘤体积测定

移植入 C6 胶质瘤细胞 20d 后随机处死 5 只大鼠, 估计各处理组的肿瘤体积大小。肿瘤体积估算方法: 肿瘤体积=0.52×宽×高。

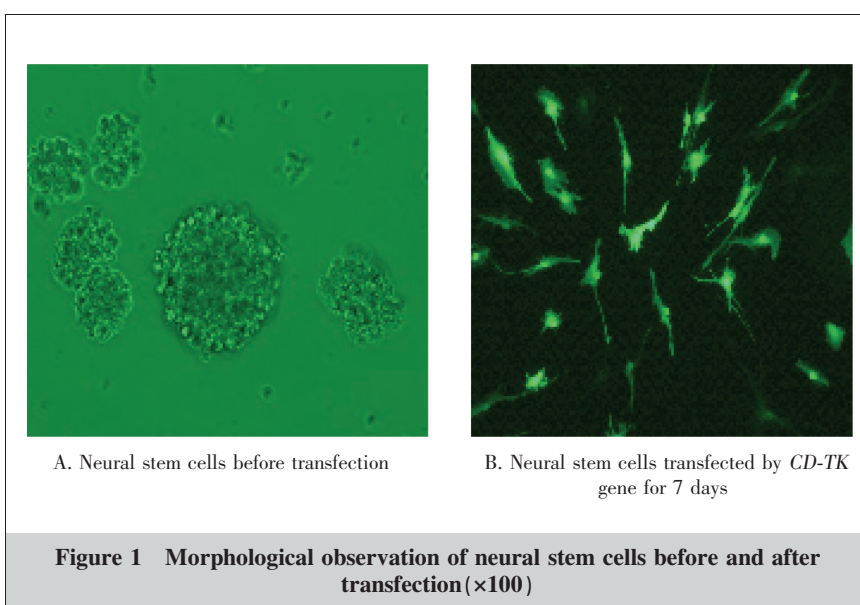
## 1.3 统计学处理

采用 SPSS 10.0 软件进行数据处理。数据以均数±标准差表示, 采用 t 检验, P<0.05 为差异有统计学意义。

## 2 结 果

### 2.1 慢病毒介导的 CD-TK 融合基因转染 NSCs 建立

转染前, 大部分 NSCs 为球状单细胞, 悬浮生长, 透明, 折光性强, 分散存在, 大小均一(Figure 1A)。转染 48h 后, 细胞克隆内有散在微弱表达的绿色荧光细胞, 细胞贴壁生长后迅速伸出突起, 并向周围迁移, 形态上可见分化为神经元样或神经胶质样细胞, 均能表达强烈绿色荧光(Figure 1B)。



## 2.2 NSCs转染前后分化鉴定

经传代培养的NSCs球Nestin免疫荧光呈明显的绿色荧光阳性着色(Figure 2A)。诱导分化NSCs 2~3d后可见大量神经样细胞和突起,呈现神经元、星形胶质细胞以及少突胶质细胞形态(Figure 2B)。转染后,经Nestin标记Cy3染色(红色)联合DAPI(蓝色)标记细胞核,大部分细胞表达Nestin(Figure 2C、2D)。

## 2.3 生存分析

所有大鼠接种肿瘤3d后均恢复正常活动。1周后大鼠体质量增加,对外界刺激反应灵敏,无死亡。2周左右大部分大鼠出现颅内高压症状,饮食减少,活动量下降,对外界刺激反应敏感度下降,完全或部分偏瘫。2周后大鼠眶周淤血,毛发不整洁,失去光泽,进食显著减少,体质量下降,并出现昏迷、死亡。治疗组治疗10d后,大鼠症状减轻,体重逐渐上升。CDglyTK-NSC+GCV/5-Fc处理组,CDglyTK-NSC处

理组,NSC+GCV/5-Fc处理组及对照组生存时间分别为 $47.20\pm2.15$ d, $29.67\pm3.26$ d, $29.80\pm1.24$ d和 $29.00\pm1.53$ d,CDglyTK-NSC+GCV/5-Fc处理组与其他各组差异有统计学意义( $P<0.05$ )。

## 2.4 流式细胞仪检测C6胶质瘤细胞凋亡

Annexin-V与PI匹配使用可将凋亡早、晚期细胞以及坏死细胞区分开来。实验组坏死细胞(17.80%)、早期凋亡细胞及晚期凋亡细胞(33.30%)较对照组明显增加(Figure 3)。

## 2.5 肿瘤体积

CDglyTK-NSC+GCV/5-Fc治疗组肿瘤体积为 $9.36\pm2.35$ mm<sup>3</sup>,小于其他处理组及对照组的肿瘤体积( $P<0.05$ )。CDglyTK-NSC组,NSC+GCV/5-Fc组及对照组肿瘤体积分别为 $30.66\pm2.74$ mm<sup>3</sup>, $28.65\pm4.21$ mm<sup>3</sup>和 $29.66\pm3.47$ mm<sup>3</sup>,各组间肿瘤体积差异无统计学意义( $P>0.05$ )。

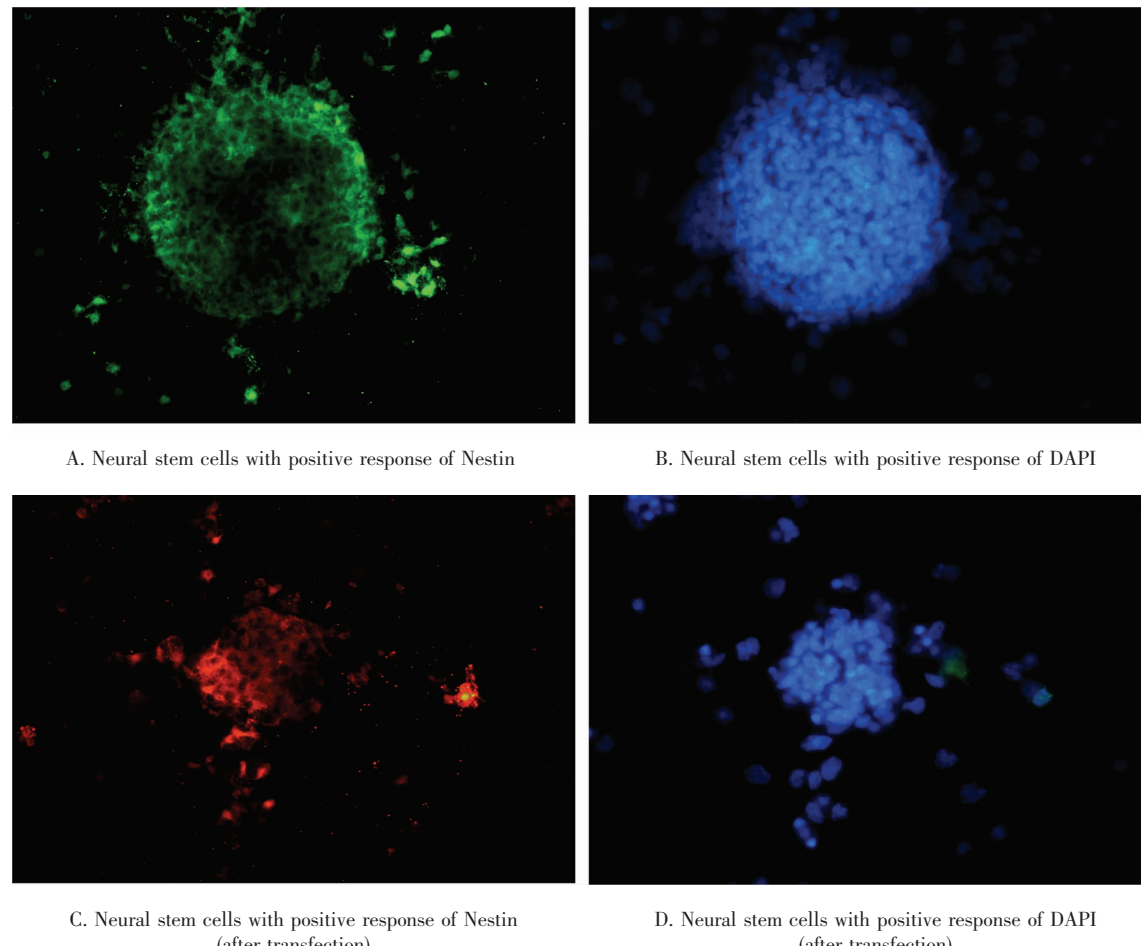
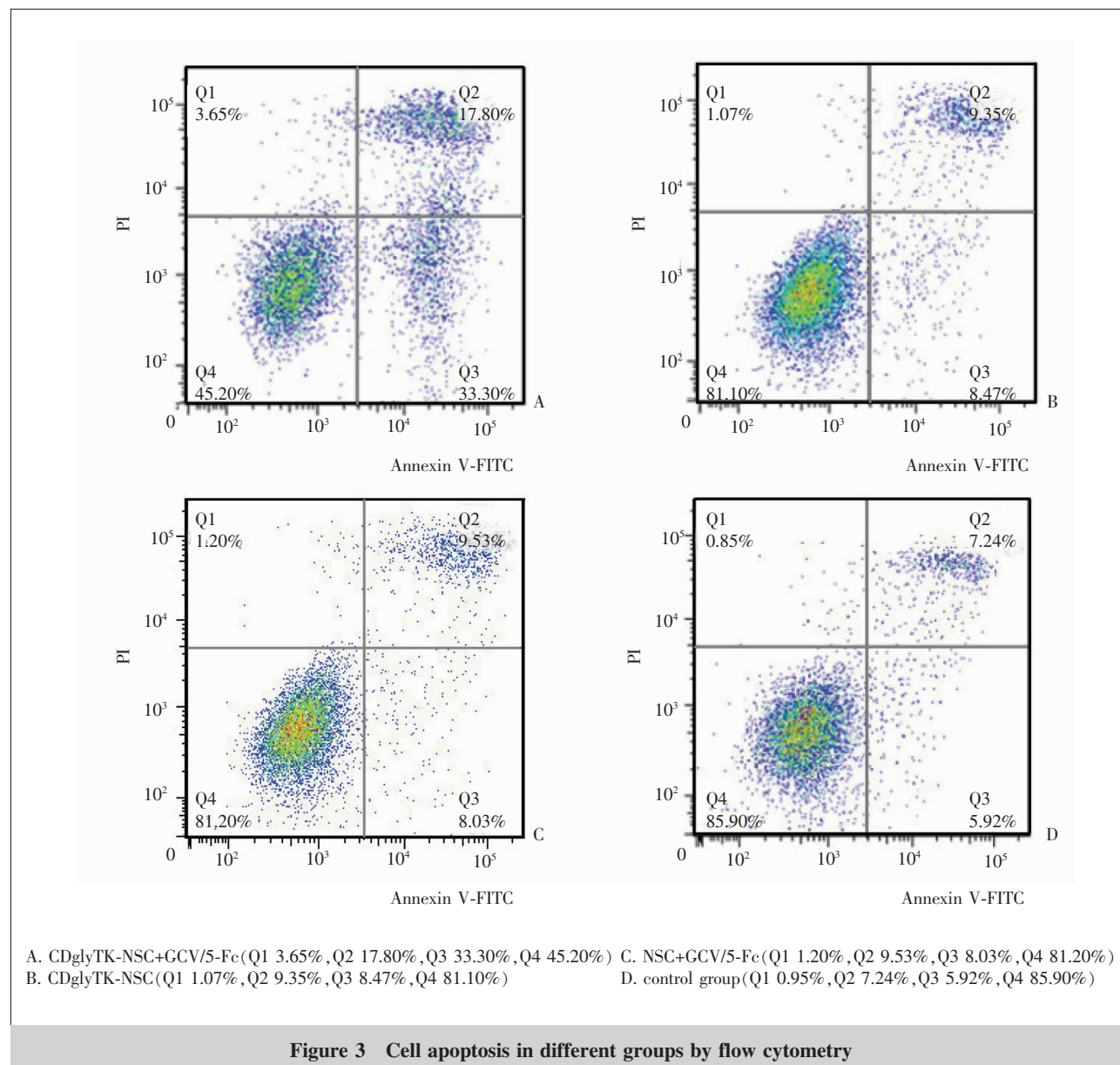


Figure 2 Neural stem cell by immune fluorescent(Nestin) before and after transfection( $\times 200$ )



**Figure 3 Cell apoptosis in different groups by flow cytometry**

### 3 讨 论

神经胶质瘤是常见的神经系统原发恶性肿瘤，约占全部中枢神经系统肿瘤的45%~55%，传统的联合治疗效果不理想<sup>[4,5]</sup>，低级别胶质瘤患者平均生存3~5年，而高级别胶质瘤则为1~2年<sup>[6]</sup>。自杀基因治疗最早于1986年由Moolten<sup>[7]</sup>提出，其基本原理为利用基因转移的方法将药敏基因导入肿瘤细胞，再施以对细胞无毒性作用的前体药物，后者能被药敏基因的表达产物转化为细胞毒性药物，从而引起肿瘤细胞自杀。有学者联合应用CD基因和TK基因构

建融合基因质粒治疗胶质瘤，发现融合基因可获得协同作用，增强了单一基因对靶细胞的杀伤能力，同时并未产生耐药性<sup>[8,9]</sup>。

NSCs应用于治疗中枢神经系统(CNS)疾病仍处于实验研究或临床研究阶段，应用范围包括脑脊髓损伤、CNS退行性疾病、脑代谢性疾病和脑肿瘤等<sup>[10]</sup>。但是直到目前为止，还没有发现NSCs特异性标志物的存在。McKay<sup>[11]</sup>用Neurospheres方法扩增NSCs，Nestin(neuroepithelial stem cell protein)呈阳性反应，而在分化神经元中Nestin消失，推测Nestin可以用来鉴定NSCs<sup>[12]</sup>。研究表明移植入脑内的NSCs具有

向胶质瘤迁移的特性。当 NSCs 植入荷瘤鼠体内肿瘤后,遍布整个肿瘤,并随肿瘤向其他部位迁移<sup>[13-16]</sup>。我们的实验检测了转染后 NSCs 的增殖能力,转染后 7d NSCs 转染率约为 53.5%,并且 NSCs 培养 2~3d 后病毒转染组 OD 值为  $0.23764 \pm 0.02917$ ,对照组为  $0.25027 \pm 0.02644 (P > 0.05)$ ,说明转染前后对 NSCs 增殖活性无明显影响。

NSCs 研究处于初级阶段,其作为转基因载体的安全性一直存在争议。Aboody<sup>[17]</sup>进行了 NSCs 介导的前体药物针对胶质瘤治疗的临床前研究,未发现载有自杀基因的 NSCs 具有毒性,而且经过前体药物的治疗,肿瘤体积明显缩小。本课题组成功分离 NSCs,并通过慢病毒将 CD-TK 基因转染至 NSCs 中,证明 CD-TK 融合基因转染对 NSCs 增殖无影响。采用合适的 MOI 值感染 NSCs 后,Nestin 染色阳性,说明 NSCs 转染效率较高,并且保留了分化能力。由此证明 NSCs 可以作为 CD-TK 基因的载体。

我们的实验发现经过 CDglyTK-NSC+GCV/5-Fc 治疗后,大鼠的生存时间延长,肿瘤体积缩小,细胞凋亡增加,说明 CDglyTK-NSC+GCV/5-Fc 对 C6 胶质瘤细胞具有较好的治疗效果,表明 NSCs 介导的双自杀基因/前药治疗法对脑肿瘤具有潜在治疗价值。由于 NSCs 携带自杀基因可以与肿瘤细胞一起被杀死,因此在保证治疗效果的前提下可以降低其毒性,为今后临床研究提供参考。

## 参考文献:

- [1] Martínez-Serrano A,Björklund A. Ex vivo nerve growth factor gene transfer to the basal forebrain in presymptomatic middle-aged rats prevents the development of cholinergic neuron atrophy and cognitive impairment during aging[J]. Proc Natl Acad Sci U S A,1988,85(4):1858-1863.
- [2] Baklaushev VP,Grinenko NF,Savchenko EA,et al. Neural progenitor and hemopoietic stem cells inhibit the growth of low-differentiated glioma[J].Bull Exp Biol Med,2012,152(4):497-503.
- [3] Wong AM,Hodges H,Horsburgh K.Neural stem cell grafts reduce the extent of neuronal damage in a mouse model of global ischaemia[J].Brain Res,2005,1063(2):140-150.
- [4] Chen HY,Shao CJ,Chen FR,et al.Role of ERCC1 promoter hypermethylation in drug resistance to cisplatin in human gliomas[J].Int J Cancer,2010,126(8):1944-1954.
- [5] Lv SQ,Liu YS,Yang H,et al.Study of neural stem cells modified by cytosine deaminase gene and its expression in vitro[J].Acta Academiae Medicinae Militaris Tertiae,2003,25(11):945-947.[吕胜青,刘运生,杨辉,等.胞嘧啶脱氨酶基因修饰 NSCs 及其表达的离体实验研究[J].第三军医大学学报,2003,25(11):945-947.]
- [6] Hopkins K,Chandler C,Eatough J,et al. Direct injection of 90Y MoAbs into glioma tumor resection cavities leads to limited diffusion of the radioimmunoconjugates into normal brain parenchyma:a model to estimate absorbed radiation dose [J]. Int J Radiat Oncol Biol Phys,1998,40(4):835-844.
- [7] Moolten FL.Tumor chemosensitivity conferred by inserted herpes thymidine kinase genes:paradigm for a prospective cancer control strategy[J].Cancer Res,1986,46(10):5276-5281.
- [8] Barton KN,Paielli D,Zhang Y,et al. Second-generation replication-competent oncolytic adenovirus armed with improved suicide genes and ADP gene demonstrates greater efficacy without increased toxicity[J]. Mol Ther,2006,13(2):347-356.
- [9] Wang Y,Xu HX,Lu MD,et al.Expression of thymidine kinase mediated by a novel non-viral delivery system under the control of vascular endothelial growth factor receptor 2 promoter selectively kills human umbilical vein endothelial cells[J].World J Gastroenterol,2008,14(2):224-230.
- [10] Martinez-Serrano A,Rubio F,Navarro B,et al. Human neural stem and progenitor cells:in vitro and in vivo properties, and potential for gene therapy and cell replacement in the CNS[J]. Curr Gene Ther,2001,1(3):279-299.
- [11] McKay R.Stem cells and the cellular organization of the brain[J]. J Neurosci Res,2000,59(3):298-300.
- [12] Qian X,Davis AA,Goderie SK,et al. FGF2 concentration regulates the generation of neurons and glia from multipotent cortical stem cells[J].Neuron,1997,18(1):81-93.
- [13] Li Y,Chen J,Wang L,et al.Treatment of stroke in rat with intracarotid administration of marrow stromal cells[J].Neurology,2001,56(12):1666-1672.
- [14] Chen J,Li Y,Wang L,et al. Therapeutic benefit of intra-venous administration of bone marrow stromal cells after cerebral ischemia in rats[J].Stroke,2001,32(4):1005-1011.
- [15] Lu D,Mahmood A,Wang L,et al.Adult bone marrow stromal cells administrated intravenously to rats after traumatic brain injury migrate into brain and improve neurological outcome[J].Neuroreport,2001,12(3):559-563.
- [16] Aboody KS,Brown A,Rainbow NG,et al.Neural stem cells display extensive tropism for pathology in adult brain:evidence from intracranial gliomas[J].Proc Natl Acad Sci U S A,2000,97(23):12846-12851.
- [17] Aboody KS,Najbauer J,Metz MZ,et al.Neural stem cell-mediated enzyme/prodrug therapy for glioma:preclinical studies[J]. Sci Transl Med,2013,5(184):184ra59.